



БИООРГАНИЧЕСКАЯ ХИМИЯ

том 11 * № 4 * 1985

УДК 577(214.625+217.52):577.113.6

ПЛАЗМИДНЫЙ ВЕКТОР С КОНТРОЛИРУЕМОЙ ТЕМПЕРАТУРОЙ ЭКСПРЕССИЕЙ ГЕНОВ

Кравченко В. В., Ямщиков В. Ф., Плетнев А. Г.**

*Всесоюзный научно-исследовательский институт молекулярной биологии,
пос. Кольцово Новосибирской области;*

*Новосибирский институт биоорганической химии
Сибирского отделения Академии наук СССР, Новосибирск*

В плазмиде pBR327 осуществлена делеция фрагмента длиной 169 п. о., включающего в себя промотор p_{λ} гена *bla*. Полученная делеционная производная (pSP2) была использована для конструирования рекомбинантной плазмиды, несущей фрагмент ДНК фага λ с промотором p_R и геном термочувствительного репрессора *cI*. Показано, что в сконструированном плазмидном векторе (pCE119) с промотора p_R осуществляется контролируемая репрессором *cI* транскрипция гена *bla*, в результате чего часовая индукция при 42°С приводит к почти 100-кратному увеличению количества продукта гена *bla* по сравнению с таковым при 32°С. Возможность применения плазмиды pCE119 для экспрессии других генов продемонстрирована на примере полусинтетического гена β -галактозидазы *E. coli*. В этом случае при 3-часовой индукции клеток с рекомбинантной плазмидой pCEZ12 при 42°С наблюдается 300-кратное увеличение количества активной β -галактозидазы по сравнению с таковым при 32°С. Важно отметить, что в этих условиях (при 42°С) по крайней мере 99% клеток, содержащих плазмиду, сохраняют фенотип *lacZ⁺*, что свидетельствует о стабильности предлагаемой векторной системы.

Необходимой предпосылкой структурно-функциональных исследований в области молекулярной биологии и биоорганической химии является выделение индивидуальных генов и их продуктов. В настоящее время в принципе решены методические вопросы клонирования и экспрессии фрагментов ДНК с помощью различных векторов для получения препартивных количеств нуклеотидного или белкового материала. Однако часто оказывается, что высокий уровень синтеза продукта гена сопровождается низкой стабильностью белка или его токсичностью, приводящей к гибели клеток [1, 2]. Преодолеть эти трудности можно, в частности, созданием векторных систем, в которых экспрессия клонируемого гена находится под строгим контролем по принципу «включено-выключено». Такая система в режиме «выключено» позволяет вначале амплифицировать генетический материал, а затем в оптимальных условиях «включить» синтез его продукта.

Примером использования таких систем является применение векторов с индуцируемыми промоторами типа p_{lacUV5} [3] или p_L [1, 4], «включение» которых осуществляется либо добавлением индуктора, либо повышением температуры (за счет инактивации репрессоров). Недостатком описанных систем является необходимость использования специальных штаммов *E. coli*, которые обеспечивают синтез определенного репрессора.

В работе [2] сообщалось о векторе на основе плазмиды pBR322 и фрагмента ДНК бактериофага λ , содержащего промотор правого оперона p_R и ген термочувствительного репрессора *cI*, который осуществляет негативный контроль транскрипции с этого промотора. Такой векторщен недостатков, отмеченных выше для систем на основе промоторов p_{lacUV5} и p_L , поскольку ген репрессора находится в составе плазмиды-вектора, который можно переносить в любые подходящие клетки *E. coli*. Однако для данного вектора обнаружена большая нестабильность, выражаяющаяся в 95% утрате плазмидой исходного фенотипа. Причины такой нестабильности рекомбинантной плазмиды может быть наличие в ней [2] гена *rop*, который осуществляет негативный контроль репликации в плазмиде pBR322

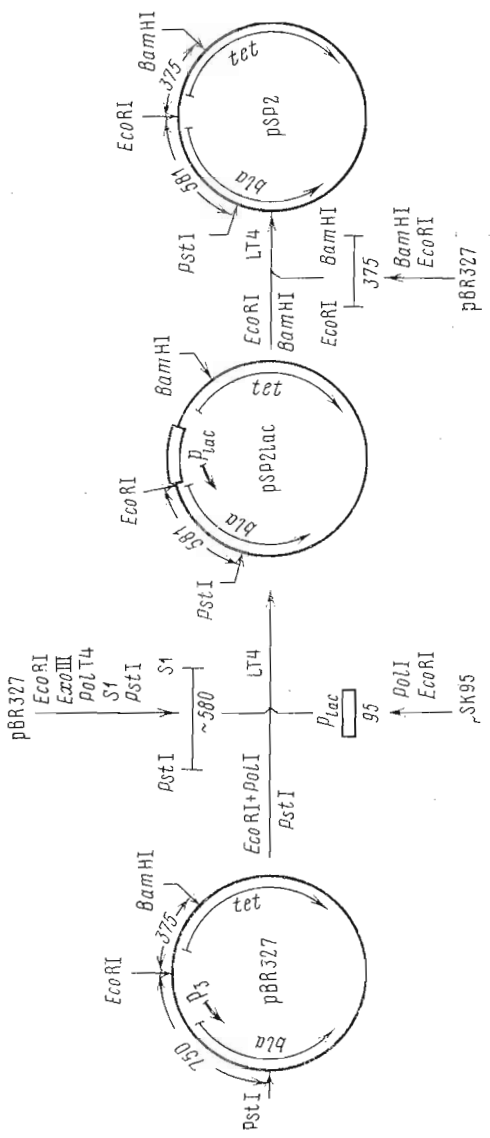


Рис. 1. Схема получения плазмид pSP2lac и pSP2. *Eco*RI, *Pst*I, *Bam*HI – расщепление соответствующей рестриктазой; *Eco*PI – обработка экзонуклеазой I II *E. coli*; *PoI* и *PoI*/*T4* – обработка ДНК-полимеразами I *E. coli* и фага *T4* соответственно; S1 – расщепление нукleaseй S1; LT4 – спираль ДНК-тигазой фага T4 и трансформация клеток *E. coli*. Цифры обозначают длины фрагментов в парах оснований. Двоеточиями отмечены места расположения транскрипционных сайтов *P_R* и *P_L* (на рисунке для краткости – *P_R*). Физические карты плазмид pSK95 и pBR322 описаны в работах [7, 11]

5' ... GCAAATGTTGAATACTCACTCTTCCATTTCATTAATGAGGATTTATCGGGAAATCTCATGTTAACGCTTACATGCA
 3' ... CCTTACAACTTAAGGTTAGAAGAAAAGTTAAAGAACCTGAAATAGCCTTAAGATAAACTTGCGATAATGCT...
 3' ... GCAAATGTTGAATACTCACTCTTCCATTTCATTAATGAGGATTTATCGGGAAATCTCATGTTAACGCTTACATGCA
 5' ... CCTTACAACTTAAGGTTAGAAGAAAAGTTAAAGAACCTGAAATAGCCTTAAGATAAACTTGCGATAATGCT...

Рис. 2. Нуклеотидная последовательность плазмиды pSP2 в районе начала гена *bla*. Сверху подчеркнута исследованная область сайта расщепления *EcoRI*, снизу – ATG-кодон, с которого начинается транскрипция гена *bla*. Стрелкой в указана старт транскрипции с промотора *p₁*. [9]. Точкиами отмечены первый и последний пуклеотидные остатки в плазмиде pSP2 до карты pBR322 [10].

[5, 6]. В плазмидах этого типа ситуация осложняется еще тем, что в них промотор p_R ориентирован по направлению транскрипции гена rop , чем обеспечивается повышенный уровень синтеза белка rop . Известно, что в тех случаях, когда перед геном rop расположен сильный промотор, число копий плазмида снижается и вся конструкция становится нестабильной [6].

В связи с этим представляло интерес создание и исследование свойств векторной плазмиды на основе промотора p_R и гена репрессора cI , лишенной указанных выше недостатков. Для клонирования промотора p_R и гена cI была выбрана плазмида pBR327 [7]. В отличие от pBR322 [8] в ней делетирован участок длиной ~1100 п.о. из области, прилегающей к району инициации репликации [7]. Согласно данным работ [5, 6], деления этого участка приводят к утрате гена rop .

Главным принципом конструирования вектора было создание искусственного оперона, в котором последовательно расположены: 1) промотор (в данном случае p_R) и его регулятор (ген репрессора cI); 2) ген белка, который необходимо экспрессировать; 3) ген-маркер, который обеспечивает селективный признак.

В качестве маркерного гена был выбран плазмидный ген, обеспечивающий клеткам устойчивость к ампициллину (ген bla). Для того чтобы поставить ген bla под контроль p_R , необходимо было удалить его собственный промотор p_z (рис. 1), старт транскрипции с которого находится в точке 4189 * [9]. Стадии удаления промотора p_z из ДНК pBR327 показаны на рис. 1.

На первой стадии линеаризованную рестриктазой $EcoRI$ плазмиду pBR327 обрабатывали экзонуклеазой III в условиях, описанных в работе [12]. Для получения набора молекул, несущих на 3'-концах остаток дезоксигуанозина, ДНК инкубировали с эквимолярным количеством (в расчете на концы линеаризованной плазмиды) ДНК-полимеразы фага T4 в присутствии избытка dGTP, а выступающие 5'-концы удаляли гидролизом нуклеазой SI. Подготовленную таким образом ДНК расщепляли рестриктазой $PstI$ и выделяли набор фрагментов длиной ~580 п.о. электрофорезом в полиакриламидном геле (ПААГ). Полученная смесь фрагментов была лигирована вместе с $EcoRI$ -фрагментом длиной 95 п.о., выделенным из плазмиды pSK95 (см. рис. 1 и «Экспериментальную часть») и $PstI/EcoRI$ -векторной частью плазмиды pBR327 (см. рис. 1). Лигазной смесью трансформировали клетки *E. coli* C600, отбирая клоны с фенотипом Apt^r , Tc^r и с ярко-голубой окраской в присутствии 5-бром-4-хлор-3-нитродифенил-β-D-галактозида (X-gal). Из колоний с таким фенотипом выделяли плазмидную ДНК и анализировали ее на наличие сайта $EcoRI$, который должен возникать на стыке при лигировании фрагмента 580 п.о., укороченного до 3'-концевого остатка гуанозина, с $EcoRI$ -фрагментом длиной 95 п.о. из pSK95, достроенного с помощью dATP и dTTP в присутствии ДНК-полимеразы I из *E. coli*. Затем с помощью рестрикционного анализа рестриктазами $EcoRI$ и $Sau3A$ была отобрана плазмида pSP2lac (см. рис. 1), имеющая максимальную делецию (~170 п.о.). После замены рекомбинацией *in vitro* в плазмиде pSP2lac $EcoRI/BamHI$ -фрагмента, содержащего промотор p_{lacUV5} и часть гена tet , на соответствующий фрагмент из pBR327 была получена плазмида pSP2 (см. рис. 1). Определение нуклеотидной последовательности этой плазмиды вблизи сайта $EcoRI$ показало (рис. 2), что делеция составляет 169 п.о., начиная с позиции 4193 вплоть до участка расщепления $EcoRI$.

По литературным данным [9], старт транскрипции с промотора p_z находится в точке 4189. Значит, делеция 169 п.о. в ДНК pSP2 (см. рис. 2) удаляет этот промотор, поскольку известно [11], что для инициации транскрипции РНК-полимеразой *E. coli* необходима специфическая последовательность ДНК, расположенная в пределах 40–50 п.о. перед точкой

* Первичная структура ДНК pBR327 однозначно выводится из способа ее конструирования [7] на основе данных о структуре ДНК pBR322 [10]. Поэтому здесь и далее координаты нуклеотидных остатков плазмиды pBR327 даны по карте pBR322 [10].

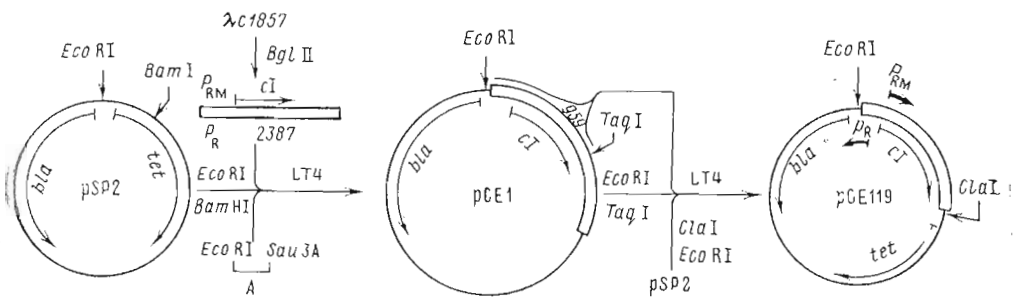


Рис. 3. Схема получения плазмид pCE1 и pCE119. Длина *Bgl*II-фрагмента ДНК λ c1857ind⁻, содержащего блок $p_R - cI$ с промотором p_R , помечена по [13]. А – химически синтезированный адаптер, состоящий из двух комплементарных олигонуклеотидов (5'АЛТГСТАТГТГТ3' и 5'ГАТСАСАСАТАГ3') с 5'-выступающими концами для克лонирования по сайтам *Bam*HI или *Bgl*II и *Eco*RI (при этом сайты *Bam*HI и *Bgl*II не восстанавливаются, а остается только сайт расщепления рестриктазой *Sau*3A).

Другие обозначения такие же, как в подписи к рис. 1

старта РНК. Однако клетки *E. coli*, содержащие плазмиду pSP2, устойчивы к ампициллину. По-видимому, это связано с тем, что транскрипция гена *bla* осуществляется в плазмиде с промотором p_1 , расположенного справа от *Hind*III-сайта [9].

Таким образом, получена плазмида pSP2, содержащая ген *bla* с сигналами инициации трансляции, но лишенная собственного промотора p_1 . Эта плазмида пригодна для клонирования промоторсодержащих фрагментов, причем конструкция позволяет вести непосредственный отбор рекомбинантов за счет специфичной активности гена *bla*.

Такие возможности плазмиды pSP2 были проверены на примере клонирования промотора p_R вместе с геном репрессора *cI*. На основании полной первичной структуры ДНК фага λ c1857ind⁻ блок $p_R - cI$ фланкирован сайтами расщепления рестриктаз *Bgl*II (позиция 38103) и *Taq*I (позиция 37169) [13]. Выделить этот фрагмент непосредственно из *Bgl*II/*Taq*I-гидролизата ДНК λ c1857ind⁻ практически невозможно. Поэтому было предпринято клонирование *Bgl*II-фрагмента (2387 п.о.), содержащего блок $p_R - cI$ вместе с генами *rexA* и *rexB* [13], в *Eco*RI/*Bam*HI-векторной части плазмиды pSP2 (рис. 3). Чтобы обеспечить нужную ориентацию промотора p_R по отношению к гену *bla*, использовали синтетический адаптер *Eco*RI/*Sau*3A, структура которого приведена в подписи к рис. 3. Использование адаптера позволило ввести терминирующий кодон, обрывающий трансляцию части гена *cro*, который присутствует во фрагменте *Bgl*II(2387 п.о., см. рис. 3 и [13]). Отбор трансформантов вели непосредственно на чашках с ампициллином, чтобы отсеять рекомбинанты с противоположной ориентацией фрагмента относительно гена *bla*. Поскольку заранее не было ясно, как поведет себя блок $p_R - cI$ при клонировании, трансформанты выращивали при 32 и 37°С. На чашках с ампициллином, инкубировавшихся при 32°С, не было найдено ни одной колонии, а на чашках, инкубировавшихся при 37°С, все колонии с фенотипом *Ap*^r содержали плазмиду с фрагментом в нужной ориентации (см. плазмиду pCE1 на рис. 3). Из плазмиды pCE1 совместным гидролизом рестриктазами *Eco*RI и *Taq*I был получен фрагмент размером 959 п.о., содержащий блок $p_R - cI$, и его клонировали в плазмиде pSP2 по сайтам *Eco*RI и *Clal* (рис. 3). Отбор трансформантов вели на чашках с ампициллином при 37°С. Анализ структуры плазмидных ДНК осуществляли с помощью рестриктаз *Eco*RI, *Hind*III и *Bsp*I (ниже приведены результаты *Bsp*I-анализа), из которых однозначно выводится физическая карта плазмиды pCE119 (см. рис. 3).

На основании данных работы [14] можно предполагать, что расщепление плазмиды pSP2 рестриктазой *Clal* инактивирует промотор гена *tet*. С другой стороны, транскрипция гена *cI* с промотором p_{RM} продолжается в область генов *rexA* и *rexB* [2, 13], поэтому можно было ожидать, что в плазмиде pCE119 с промотором p_{RM} возможна транскрипция гена *tet* (см. рис. 3). Действительно, оказалось, что присутствие в клетках *E. coli* C600

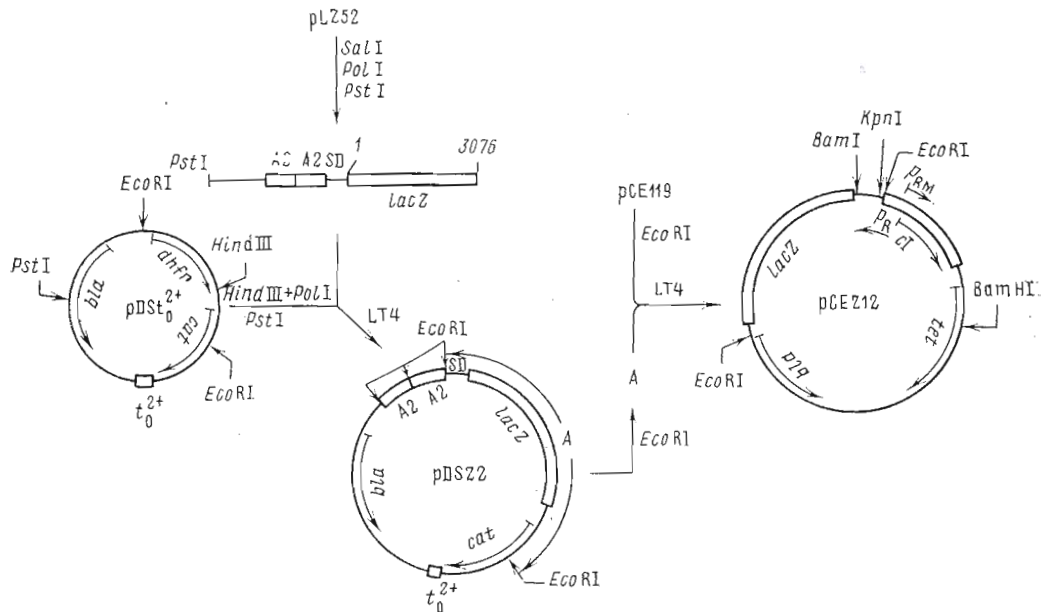


Рис. 4. Схема получения плазмид pDSZ2 и pCEZ12. Физические карты плазмид pDS₀²⁺ и pLZ52 приведены по работам [5, 15] соответственно. t_0^{2+} — терминатор *oop*-РНК фага λ [5, 6]. Другие обозначения такие же, как в подписи к рис. 1, 3

этой плазмиды обеспечивает им устойчивость к низким концентрациям тетрациклина (10 мкг/мл). Параллельная проверка устойчивости клеток *E. coli* C600 без плазмиды показала, что рост клеток полностью прекращается при концентрации антибиотика 5 мкг/мл. Эти результаты подтверждают предположение, что с промотора p_{RM} происходит слабая транскрипция генов *cI* и *tet* в составе плазмиды pCE119. Известно [4], что клетки *E. coli*, содержащие функционально активный репрессор *cI*, иммунны к инфицированию фагом λ . Поэтому для проверки наличия в клетках *E. coli* (pCE119) функционально активного репрессора *cI* и доказательства его термоочувствительности изучали способность фага λ размножаться на этих клетках при 32 и 42° С. Было найдено, что клетки *E. coli* (pCE119) иммунны к инфицированию фагом λ (использовали дикий тип λ^+ и его мутант $\lambda cI857ind^-$) при 32° С, но утрачивают такой иммунитет при 42° С. В противоположность этому клетки *E. coli* без плазмиды были одинаково чувствительны к инфицированию фагом при обеих температурах. Таким образом, можно заключить, что в клетках, содержащих плазмиду pCE119, синтезируется репрессор *cI*, функционально активный при 32° С и неактивный при 42° С.

На примере гена *bla* мы провели предварительную оценку применимости сконструированного вектора pCE119 для регулируемой экспрессии под контролем промотора *pr* и репрессора *cI*. С этой целью сравнили уровень синтеза β -лактамазы в клетках, содержащих плазмиду pCE119, при 32 и 42° С. Было найдено, что при повышении температуры до 42° С количество β -лактамазы достигает максимума после 1-го ч инкубации в этих условиях.

Более подробное исследование терморегулируемой экспрессии генов в плазмиде pCE119 было проведено на примере полусинтетического гена β -галактозидазы *E. coli*, выделенного из плазмиды pLZ52 [15]. С целью получения гена *lacZ*, flankированного сайтами расщепления рестриктазы *EcoRI*, из ДНК pLZ52 был выделен *PstI/SalI*-фрагмент, содержащий этот ген вместе с участком инициации трансляции [15], и перенесен в *PstI/HindIII*-векторную часть плазмиды pDS₀²⁺ (рис. 4). Полученная

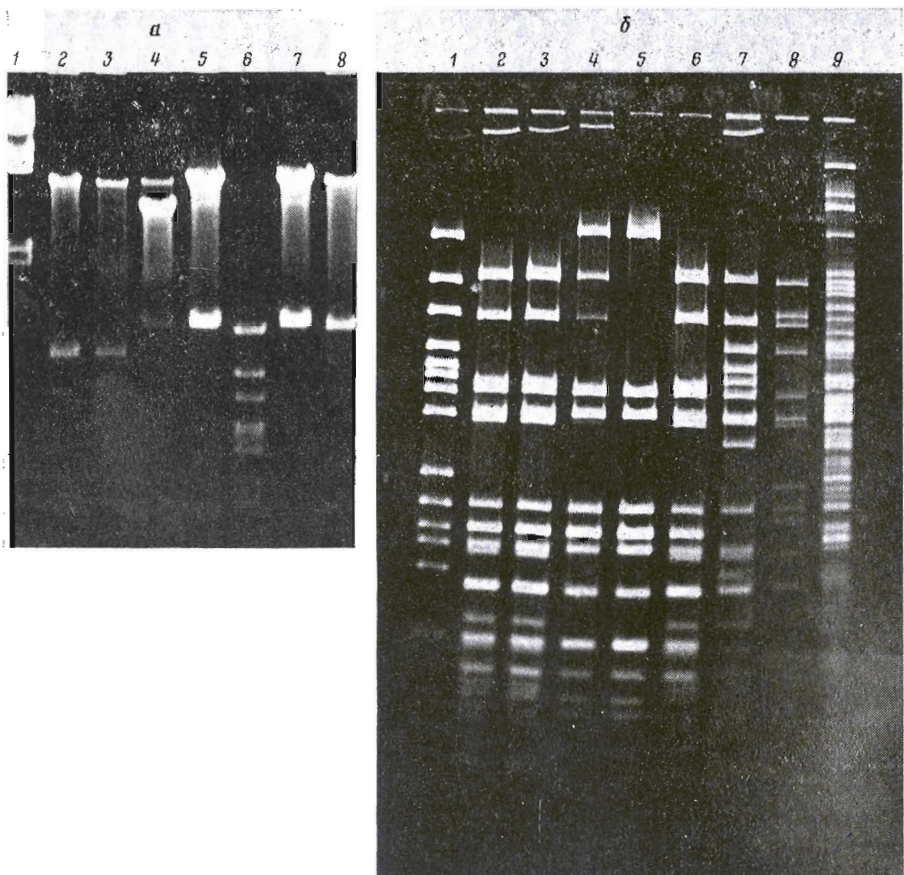


Рис. 5. Рестрикционный анализ рекомбинантных плазмид. *а* – результаты электрофоретического разделения продуктов гидролиза ДНК в 1% АГ: 1 – ДНК λ c1857 ind^- + $Hind$ III; 2, 3 – ДНК pLZ3 после совместного гидролиза Bam HI и Pst I; 4, 5 и 7 – ДНК pCEZ10, pCEZ11 и pCEZ12 (соответственно)+ Bam HI; 6 – ДНК pQpr $^+$ Bsp I; 8 – ДНК pCEZ12, выделенная после выращивания клеток в течение 3 ч при 42° С и гидролизованная рестриктазой Bam HI. *б* – результаты электрофоретического разделения продуктов гидролиза ДНК в 4% ПААГ: 1 – то же, что дорожка 6 на рис. 5*а*; 2, 4 и 6 – то же, что дорожки 4–6 (соответственно) на рис. 5*а*, но гидролизованы рестриктазой Bsp I; 3 – то же, что дорожка 8 на рис. 5*а*, но+ Bsp I; 5 – ДНК pCE119+ Bsp I; 7 – ДНК pLZ3+ Bsp I; 8 – ДНК pDSZ2+ Bsp I; 9 – ДНК λ c1857 ind^- + Bsp I. Длины фрагментов-маркеров (Bsp I-фрагменты ДНК плазмиды pQpr $^+$, $Hind$ III- и Bsp I-фрагменты ДНК c1857 ind^-) определены по [17, 13] соответственно. Условия электрофореза см. «Экспер. часть»

в результате плазмида pDSZ2 содержала ген *lacZ*, фланкированный сайтыми расщепления рестриктазы *Eco*RI. Эта плазмида была охарактеризована рестрикционным анализом с помощью эндонуклеазы *Bsp*I (рис. 5). Из ДНК pDSZ2 был выделен *Eco*RI-фрагмент, содержащий ген *lacZ*, и реклопирован по сайту *Eco*RI в плазмиде pCE119 (см. рис. 4). Трансформацию клеток *E. coli* CSH36 и отбор рекомбинантов проводили при 37° С на чашках с ампидиллином и X-gal. Анализ плазмидных ДНК, приготовленных из интенсивно-синих колоний (наблюдали только ярко-синие и белые колонии), с помощью рестриктаз *Bam*HI и *Bsp*I (рис. 5) позволил отобрать плазмиды с пулевой ориентацией гена *lacZ* относительно промотора *p*. Один из клонов, содержащий такую плазмиду (обозначена pCEZ12, см. рис. 4), использовался для дальнейших экспериментов.

Для определения уровня синтеза β -галактозидазы клетки *E. coli* CSH36 (pCEZ12) выращивали при 32° С до плотности $\sim 0,3$ ОЕ₅₅₀/мл, а затем инкубировали при этой же температуре или 42° С, отбирая с часовым интервалом времени аликовты клеточной суспензии для анализа. Аналогично были приготовлены для анализа клетки *E. coli* CSH36, несущие плазмиду

Результаты определения активности β -галактозидазы в клетках *E. coli* CSH36, несущих плазмида pLZ3 и pCEZ12

Номер пробы	Плазмида	Температура выращивания, °C	Время роста, ч	Поглощение при 550 нм	Аликвота клеток для анализа, мкл	Поглощение реакционной смеси при 420 нм	Активность β -галактозидазы *
1	pLZ3	32	0	0,44	100	0,15	340
2			1	0,84	100	0,21	250
3			2	1,73	100	0,49	270
4			3	2,26	100	0,79	340
5			1	1,45	100	0,31	200
6		42	2	2,01	100	0,63	340
7			3	2,31	100	1,31	550
8			0	0,37	100	0,08	—
9			1	0,89	100	0,09	—
10			2	1,81	100	0,47	95
11			3	2,28	100	0,25	110
12	pCEZ12	32	1	1,35	10	0,96	7100
13			2	1,89	2	0,62	16 400
14		42	3	2,19	1	0,72	32 700

* Использованы условные единицы активности, рассчитанные как описано в работе [16].

pLZ3, в которой транскрипция гена *lacZ* находится под контролем промотора *AI* фага T7 [15]. Результаты этих экспериментов (таблица) свидетельствуют о том, что уровень синтеза β -галактозидазы в случае плазмида pLZ3 практически одинаков при 32 и 42°С и составляет в среднем 300 ед. акт. В случае плазмида pCEZ12 при 32°С эта величина близка к фону (фоновым считали уровень синтеза β -галактозидазы в клетках CSH36, несущих плазмиду pLZ4, в которой ген *lacZ* клонирован без промотора [15]). С другой стороны, при 42°С наблюдается резкое увеличение синтеза продукта гена *lacZ*, который к 3 ч инкубации при этой температуре достигает величины 32 700 ед. акт., что в 60 раз выше, чем в случае конститутивного синтеза (плазмида pLZ3), и более чем в 300 раз выше по

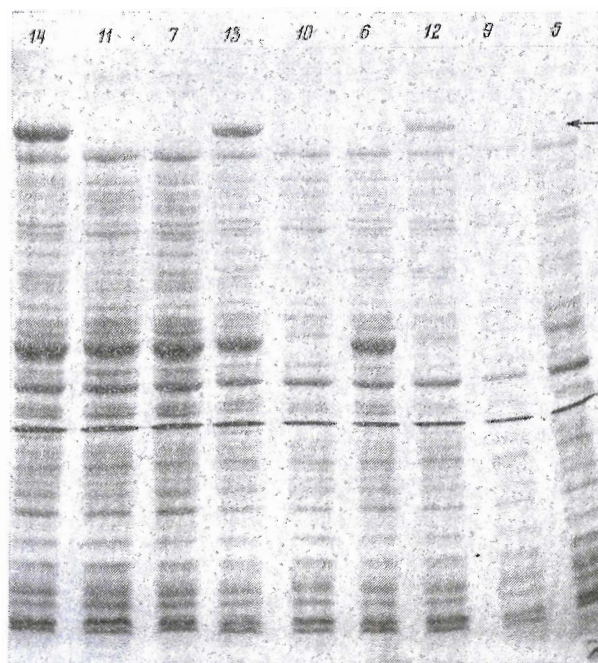


Рис. 6. Результаты электрофоретического разделения клеточных лизатов в 7,5% ПААГ. Дорожки помечены номерами соответствующих проб, указанных в таблице. Приготовление материала для анализа и условия электрофореза см. в «Экспер. части». Положение β -галактозидазы указано стрелкой

сравнению с результатами инкубации этих же клеток при 32° С (см. таблицу). Параллельно с определением активности β-галактозидазы пробы анализировали электрофорезом в 7,5% ПААГ (рис. 6). Результаты этого анализа наглядно демонстрируют данные, представленные в таблице.

После 3 ч инкубации при 42° С аликовоту культуры клеток, несущих плазмиду pCEZ12, высевали на селективные чашки с ампициллином и X-gal, а из оставшейся части выделяли плазмидную ДНК и анализировали ее с помощью рестриктаз *Bam*H I и *Bsp*I (см. рис. 5). Результаты экспериментов показали стабильность плазмиды в этих условиях выращивания, поскольку среди более чем 10³ трансформантов не было найдено колоний с фенотипом *lacZ*⁻, а выделенная ДНК была идентична по набору *Bsp*I-фрагментов исходной плазмиде (рис. 5).

Таким образом, нами сконструированы векторные плазмиды pCE119 и pCEZ12, позволяющие получать высокий, регулируемый температурой уровень экспрессии клонированных в них генов, без существенных изменений в рекомбинантной плазмиде, которые наблюдались в случае использования векторов, описанных в работах [1, 2].

Экспериментальная часть

В работе использовали штаммы *E. coli* C600 (*F⁻*, *leu*, *thr*, *thi*, *lacY*, *supE*) и *CSH36* (*F⁻*, Δ (*lac*, *pro*) *supE*, *thi*), бактериофаги λ^+ и λ cI857ind⁻ и плазмиды pDSt₀²⁺ [5], pBR327 [7], pLZ3 и pLZ52 [15], pSK95 [11] и pQpr [17]. Выращивание клеток *E. coli* осуществляли на LB-среде, содержащей в случае плазмидных штаммов антибиотики ампициллин (50 мкг/мл), тетрациклин (5–20 мкг/мл) и хлорамфеникол (30 мкг/мл) по отдельности и в комбинации, в зависимости от типа плазмиды. Селекцию бактериальных клонов проводили на LB-чашках с антибиотиками, а в случае тестирования активности гена *lacZ* дополнительно добавляли до концентрации 40 мкг/мл X-gal (Serva, ФРГ).

Рестриктазы *Eco*RI, *Sau*3A, *Pst*I, *Bam*H I, *Taq*I были производства НИКТИ БАВ (Новосибирск). Рестриктазы *Bgl*II и *Cla*I любезно предоставлены С. А. Чувпило (ИБХ АН СССР), ДНК-полимераза I из *E. coli*, ДНК-полимераза фага T4, рестриктаза *Hind*III, нуклеазы S1 и *Exo*III – Ю. С. Нечаевым. Дезоксинуклеозид-5'-[α -³²P]трифосфаты – препараты фирмы Amersham (Англия). *Eco*RI/*Sau*3A-адаптер синтезирован и любезно предоставлен А. Н. Синяковым.

Все использованные в работе плазмиды были выделены по методу [18] с модификациями. Из препарата плазмиды полисахариды удаляли двукратным осаждением из 2,5 М ацетата натрия, pH 7,0. ДНК затем осаждали 2,5 объема этанола, обрабатывали РНКазой A (20 мкг/мл) 30 мин при 37° С в буфере TE [11] и фильтровали на колонке с сепарозой CL-2B.

Условия обработки ДНК различными ферментами при получении рекомбинантных плазмид *in vitro* и трансформации клеток *E. coli* плазмидами проводили как описано ранее [11], если не отмечено особо. Фрагменты ДНК выделяли электрофорезом в 4% ПААГ или 1% агарозном геле (АГ), согласно [11], с последующей электроэлюзией на DEAE-бумагу [19]. Получение ³²P-меченых фрагментов ДНК и определение их нуклеотидной последовательности проводили так, как описано в работе [20].

Получение плазмиды pSP2. 20 мкг *Eco*RI-гидролизата ДНК pBR327 инкубировали 75 мин с 150 ед. акт. *Exo*III при 20° С в 240 мкл буфера, содержащего 78,5 мМ трис-HCl (pH 8,0), 7,5 мМ MgCl₂, 10 мМ 2-меркаптоэтанол, 72,5 мМ NaCl. Реакцию останавливали добавлением 60 мкл раствора A, содержащего 0,25 М EDTA и 1,5 М ацетат натрия, pH 8,0. Белок удаляли экстракцией 300 мкл фенола, насыщенного 0,1 М трис-HCl, pH 8,0. ДНК из водной фазы осаждали этанолом и растворяли в 80 мкл смеси 25 мМ трис-HCl (pH 8,5), 5 мМ MgCl₂, 5 мМ 2-меркаптоэтанола и 1 мМ dGTP. Реакционную смесь инкубировали 2 мин при 37° С с 20 пмоль (2,3 мкг) ДНК-полимеразы фага T4 и реакцию останавливали добавлением 20 мкл раствора A. После дегидратации ДНК осаждали этанолом, растворяли в 100 мкл буфера для S1 [21] и обрабатывали

10 мин 10 ед. акт. нуклеазы S1 при 20° С. Фермент удаляли экстракцией фенолом, а ДНК гидролизовали рестриктазой *PstI*. Набор фрагментов длиной ~580 п.о. из этого гидролизата выделяли электрофорезом в 4% ПААГ. Полученный набор фрагментов в смеси с 0,5 мкг фрагмента *EcoRI*-95 (выделен из плазмида pSK95 [11] после достройки *EcoRI*-концов ДНК-полимеразой I в присутствии 100 мкМ dATP, dTTP, dGTP каждого) и с *PstI/EcoRI*-векторной частью плазмида pBR327 (*EcoRI*-конец достроен ДНК-полимеразой I, как указано выше) обрабатывали ДНК-лигазой фага T4. Реакционной смесью трансформировали клетки *E. coli* C600. Трансформанты отбирали на LB-чашках, содержащих ампциллин, тетрациклин и X-gal. ДНК из колоний анализировали с помощью рестриктаз *EcoRI* и *Sau3A*. В результате была отобрана плазмида pSP2lac (см. рис. 1).

1 мкг *EcoRI/BamHI*-векторной части плазмида pSP2lac вместе с 0,5 мкг фрагмента *EcoRI/BamHI*-375 (выделен из ДНК pBR327) обрабатывали ДНК-лигазой фага T4 и 1/10 этой смеси трансформировали клетки *E. coli* C600. Трансформанты отбирали на LB-чашках, содержащих тетрациклин. В результате рестрикционного анализа плазмид, выделенных из *Tc*^r-клонов, была отобрана плазмида pSP2 (рис. 1). Первичную структуру ДНК pSP2 в районе делекции определяли после введения ³²P-метки во фрагмент *HindIII/BspI*.

Получение плазмиды pCEI. Из *BglII*-гидролизата ДНК фага λ c1857^{ind-} выделяли фрагмент длиной 2387 п.о. с помощью электрофореза в 1% АГ. 0,5 мкг этого фрагмента в смеси с 1 мкг *EcoRI/BamHI*-векторной части плазмида pSP2 и с 40 пмоль *EcoRI/Sau3A*-адаптера (структуру адаптера см. в подписи к рис. 3) обрабатывали ДНК-лигазой фага T4. Реакционной смесью трансформировали клетки *E. coli* C600. Трансформанты отбирали на LB-чашках с ампциллином, которые инкубировали при 32 и 37° С. ДНК плазмид из отобранных клонов анализировали с помощью рестриктаз *EcoRI*, *HindIII* и *TaqI*. В результате анализа была отобрана плазмида pCEI.

Получение плазмиды pCE119. 1 мкг *EcoRI/ClaI*-векторной части плазмида pSP2 лигировали с 0,5 мкг фрагмента *EcoRI/TaqI*-959 (выделен из ДНК pCEI и содержит блок *pR-cI*) и 1/10 этой смеси трансформировали клетки *E. coli* C600. Трансформанты отбирали на LB-чашках с ампциллином и проверяли у них устойчивость к тетрациклину, высевая отдельные колонии на селективные чашки с тетрациклином в концентрации 5, 10 и 20 мкг/мл. Из клонов, растущих при концентрации тетрациклина до 10 мкг/мл, готовили плазмидную ДНК, которую анализировали путем совместного гидролиза рестриктазами *EcoRI* и *HindIII*. В результате анализа была отобрана плазмида pCE119 (см. рис. 3).

Получение плазмиды pDSZ2. Вектор готовили следующим образом. ДНК плазмида pDS₁₀²⁺ гидролизовали рестриктазами *HindIII* и *PstI*, причем *HindIII*-конец достраивали ДНК-полимеразой I в присутствии четырех dNTP при концентрации каждого 100 мкМ с последующей очисткой в 1% АГ. Аналогично получали *PstI/SalI*-фрагмент плазмида pLZ52 с достроенным ДНК-полимеразой I *SalI*-концом. Смесь обоих фрагментов (по 0,5 мкг каждого) обрабатывали ДНК-лигазой фага T4 и использовали для трансформации клеток *E. coli* CSH36. Селекцию трансформантов проводили на LB-чашках, содержащих ампциллин, хлорамфеникол и X-gal. Из клонов ярко-синего цвета выделяли плазмидную ДНК и анализировали с помощью рестриктаз *EcoRI*, *PstI*, *BamHI*, *KpnI* и *BspI*. В результате этих анализов была отобрана плазмида pDSZ2 (см. рис. 4).

Получение плазмиды pCEZ12. ДНК плазмида pCE119 гидролизовали рестриктазой *EcoRI*, фермент инактивировали прогреванием при 70° С в течение 5 мин, белок удаляли экстракцией смесью хлороформ – изоамиловый спирт (24 : 1), ДНК осаждали спиртом и растворяли в буфере TE. Из *EcoRI*-гидролизата ДНК плазмида pDSZ2 электрофорезом в 1% АГ выделяли фрагмент, содержащий ген *lacZ*. 1 мкг этого фрагмента лигировали с 1 мкг *EcoRI*-линеаризованной ДНК pCE119 и смесью трансформировали клетки *E. coli* CSH36. Селекцию трансформантов проводили на

LB-чашках, содержащих ампциллин и X-gal. Из ярко-голубых колоний выделяли плазмидную ДНК и анализировали с помощью рестриктаз *Bam*H I и *Bsp*I. На основании данных рестрикционного анализа была отобрана плазмида pCEZ12 (рис. 4).

Анализ продуктов, кодируемых плазмидами. а) Тест на иммунность к фагу λ. Фаг λ титровали как описано в работе [16]. Титр фагов λ⁺ и λcI857ind⁻ определяли, используя штамм *E. coli* C600 с плазмидой pCE119 и без нее. Инкубацию индикаторных чашек после высева инфицированных фагом клеток проводили при 32 и 42° С.

б) Определение активности β-лактамазы. Клетки *E. coli* C600, содержащие плазмиду pCE119, выращивали в LB-бульоне при 32° С до поглощения 1 ОЕ₅₅₀/мл. Отбирали 2 мл клеточной суспензии (нулевая точка), колбу переносили на качалку и продолжали выращивание клеток при 42° С, отбирая с часовым интервалом времени по 2 мл суспензии для анализа. Непосредственно после отбора пробы охлаждали во льду, клетки собирали центрифугированием (6000 об/мин, 0° С, 10 мин) и ресусPENDИРОВАЛИ в 2 мл 200 мМ Na-фосфатного буфера, pH 6,5. Клетки разрушали ультразвуком при 22 кГц и клеточные остатки удаляли центрифугированием (8000 об/мин, 0° С, 10 мин). Аликвоту супернатанта использовали для определения активности β-лактамазы по методу [22]. Было найдено следующее количество единиц активности β-лактамазы (нормированных на 1 ОЕ₅₅₀ клеточной суспензии): 32° С – 20 (1 ч); 42° С – 1700 (1 ч); 1400 (2 ч).

в) Определение активности β-галактозидазы. Клетки *E. coli* CSH36, содержащие плазмиду pCEZ12 или pLZ3, выращивали в LB-среде с ампциллином до поглощения 0,3 ОЕ₅₅₀/мл при 32° С, переносили на качалку с температурой 42° С и продолжали выращивание еще 3 ч. Одновременно эту же культуру выращивали при 32° С. С часовым интервалом времени отбирали аликвоты клеточной суспензии для определения активности β-галактозидазы и для электрофоретического анализа. Активность β-галактозидазы определяли по скорости гидролиза *o*-нитрофенил-β-D-галактопиранозида, как описано в работе [16]. Для приготовления электрофоретических проб клетки из 1 мл культуры собирали центрифугированием (6000 об/мин, 0° С, 10 мин), подсушивали и ресусPENDИРОВАЛИ в 100 мкл буфера (5% глицерин, 3% лоденцилсульфат натрия, 2% 2-меркаптоэтанол, 0,02% бромфеноловый синий). Пробу выдерживали 10 мин при 100° С и 10 мкл наносили на 7,5% ПААГ. Электрофорез проводили согласно [5].

По окончании эксперимента аликвоту клеток, выращенных в течение 3 ч при 42° С и содержащих плазмиду pCEZ12, высевали на LB-чашки с ампциллином и X-gal, которые инкубировали 1 сут при 37° С. Из остальных клеток выделяли плазмидную ДНК и анализировали ее с помощью рестриктазы *Bsp*I.

Авторы благодарны В. Г. Коробко (ИБХ АН СССР) за плазмиды pLZ3, pLZ4 и pLZ52, М. И. Ривкину за штамм *E. coli* CSH36, С. А. Чувнило, Ю. С. Нечасову за препараты ферментов, А. Н. Синякову за синтез олигонуклеотидов и Л. П. Тихомировой за штамм λ⁺.

ЛИТЕРАТУРА

1. Jouse K. M., Grindley N. D. F. Proc. Nat. Acad. Sci. USA, 1983, v. 80, № 7, p. 1830–1834.
2. Leplatois P., Danchin A. Biochemie, 1983, v. 65, № 6, p. 317–324.
3. Boer H. A., Comstock L. J., Hui A., Wong E., Vasser M. In: Gene amplification and analysis/Eds Papas T. S., Rosenberg M., Chirikjian J. G. New York, Amsterdam, Oxford: Elsevier, 1983, v. 3, p. 103–116.
4. Lantenberger J. A., Kan N. C., Court D., Pry T., Showalter S., Papas T. S. In: Gene amplification and analysis/Eds Papas T. S., Rosenberg M., Chirikjian J. G. New York, Amsterdam, Oxford: Elsevier, 1983, v. 3, p. 147–174.
5. Stueber D., Bujard H. EMBO J., 1982, v. 1, № 11, p. 1399–1404.
6. Bujard H., Baldari C., Brunner M., Denschle U., Gentz R., Hughes J., Kammerer W., Stueber D. In: Gene amplification and analysis/Eds Papas T. S., Rosenberg M., Chirikjian J. G. New York, Amsterdam, Oxford: Elsevier, 1983, v. 3, p. 65–88.
7. Soberon X., Covarrubias L. Gene, 1980, v. 9, № 3, p. 287–305.
8. Bolivar F., Rodriguez R. L., Greene P. J., Betlach M. C., Heyneker H. L., Boyer H. W., Crossa J. H., Falkow S. Gene, 1977, v. 2, № 1, p. 95–113.

9. Brosius J., Cate R. L., Perlmutter A. P. J. Biol. Chem., 1982, v. 257, № 15, p. 9205–9210.
10. Sutcliffe J. G. Cold Spring Harbor Symp. Quant. Biol., 1978, v. 43, p. 77–90.
11. Серпинский О. И., Каргинова Е. А., Микрюков Н. Н., Кравченко В. В., Зайчиков Е. Ф., Максимова Т. Г., Онищенко А. И., Плетнев А. Г., Митина Ю. А. Биоорганическая химия, 1982, т. 8, № 6, с. 840–847.
12. Li-He Guo, Wu R. Nucl. Acids Res., 1982, v. 10, № 6, p. 2065–2084.
13. Sanger F., Coulson A. R., Hong G. F., Petersen G. B. J. Mol. Biol., 1982, v. 162, № 4, p. 729–773.
14. West R., Rodriguez R. L. Gene, 1982, v. 20, № 2, p. 291–304.
15. Коробко В. Г., Добропилин В. Н., Нгуен Куанг Винь, Подладчикова О. И., Северчева И. В., Быстров Н. С., Болдырева Е. Ф., Чувапило С. А., Колосов М. Н. Биоорганическая химия, 1983, т. 9, № 9, с. 1285–1289.
16. Miller J. H. In: Experiments in molecular genetics. Cold Spring Harbor Laboratory. N. Y.: Cold Spring Harbor, 1972.
17. Petrov N. A., Karginov V. A., Mikriukov N. N., Serpinskii O. I., Kravchenko V. V. FEBS Lett., 1981, v. 133, № 2, p. 316–320.
18. Birnboim H. C., Doly J. Nucl. Acids Res., 1979, v. 7, № 6, p. 1513–1523.
19. Кравченко В. В., Серпинский О. И., Синяков А. Н., Попов С. Г. Биоорганическая химия, 1984, т. 10, № 2, с. 220–225.
20. Чувапило С. А., Кравченко В. В. Биоорганическая химия, 1983, т. 9, № 12, с. 1634–1637.
21. Vogt V. M. Eur. J. Biochem., 1973, v. 33, № 1, p. 192–196.
22. Ross G. W., O'Callaghan C. N. In: Methods in enzymology/Ed. Hash J. H. N. Y.: Acad. Press, 1975, v. 43, p. 69–85.

Поступила в редакцию
11.IX.1984

A PLASMID VECTOR FOR TEMPERATURE-CONTROLLED EXPRESSION

KRAVCHENKO V. V., YAMSHCHIKOV V. F.*; PLETNEV A. G.*

All-Union Research Institute of Molecular Biology, Koltsovo,
Novosibirsk Region; * Novosibirsk Institute of Bioorganic Chemistry,
Siberian Branch of the Academy of Sciences of the USSR, Novosibirsk

A 169 b.p. fragment including the *bla* gene promoter *p*₃ has been removed from pBR327 plasmid, and the deleted plasmid used for cloning the *TaqI/BglII*-fragment of the *λc1857ind-* DNA containing promoter *p*_R and gene *cI* to obtain plasmid pCE119. Cells containing pCE119 produced a high level of β-lactamase at 42° C, the yield at 42° C being 100 times higher than at 32° C. For cloning and functional assays a pCEZ12 plasmid was constructed, in which promoter *p*_R and repressor *cI* of *λ* phage control the expression of the semi-synthetic β-galactosidase gene. Yield of β-galactosidase produced by pCEZ12 at 42° C was ca. 300 times higher than at 32° C.